

# سپرهاي گرمائي فدا شونده

Thermal Degradation Kinetics of Phenolic Resins Used in Ablative Heat Shields

رسول محسنی لاوی<sup>۱</sup>، مهرداد کوکبی<sup>۱\*</sup>، محمد حسین بهشتی<sup>۲</sup>

۱- تهران، دانشگاه تربیت مدرسه، دانشکده فنی و مهندسی، گروه پلیمر، صندوق پستی ۱۴۱۱۵/۱۱۱

۲- تهران، پژوهشگاه پلیمر و پتروشیمی ایران، پژوهشکده فرایند، گروه کامبوزیت و چسب، صندوق پستی ۱۴۹۶۵/۱۱۵

دریافت: ۸۰/۱۰/۲۶؛ پذیرش: ۸۱/۴/۱۵

## چکیده

با توجه به کاربرد روزافزون رزینهای فنولی در ساخت سپرهاي گرمائي فدا شونده، شناخت سیستمک تخریب گرمائي و عوامل موثر بر چگونگی تخریب آنها از اهمیت ویژه ای برخوردار است. در این پژوهش با انتخاب دو نوع رزین فنولی اثر نوع رزین، محیط آزمایش و سرعت گرمادهی بر اسلوب تخریب با استفاده از آزمون تجزیه گرمما وزنی (TGA)، که در آن تغییرات وزن نمونه ناشی از تخریب گرمائي اندازه گیری می شود، بررسی شده است. نتایج نشان می دهد که اصلاح ساختار رزین فنولی باعث افزایش بازدهی زغال شدن آن در فرایند فدا شدن می گردد. وجود اکسیژن در محیط آزمایش سرعت تخریب را افزایش می دهد و باعث اکسایش زغال باقیمانده از تخریب رزین می شود. با انجام آزمون TGA در چند سرعت گرمادهی مختلف، رابطه ای بین دمای بیشینه تخریب ( $T_{max}$ ) و سرعت گرمادهی بدست آمده است که دمای بیشینه تخریب برای هر سرعت گرمادهی از آن رابطه قابل محاسبه است. پارامترهای سیستمک واکنش تخریب رزین یعنی درجه واکنش تخریب (n)، انرژی فعالسازی (E) و ضریب بسامد (A) نیز با استفاده از مدل ازوا (Ozawa) محاسبه شده است که به ترتیب عبارت اند از:  $۷/۵$  و  $۷۷\text{kJ/mol}$  و  $۲/۱ \times 10^{-7}/\text{min}$ . نتایج حاصل از مدل تخریب نظری که با استفاده از این پارامترها بدست آمده است، تطبیق بسیار خوبی با نتایج تجزیه نشان می دهد.

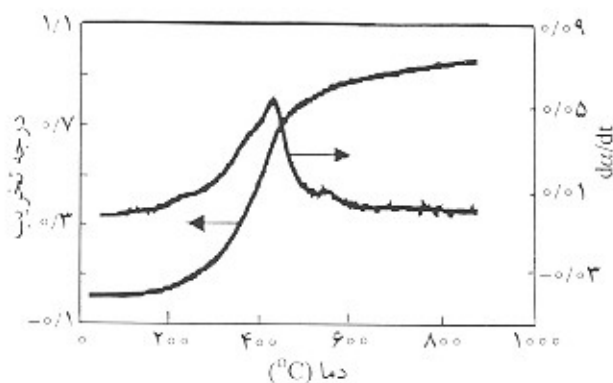
واژه های کلیدی: سپر گرمائي، رزین فنولی، سیستمک تخریب، تجزیه گرمما وزنی، فدا شونده

Key Words: heat shield, phenolic resin, degradation kinetics, thermogravimetry analysis, ablative

مقدمه  
رازینهای فنولی که یکی از رزینهای ارزان و مقاوم گرمائي است کاربردهای زیادی در صنایع مختلف دارد [۱]. یکی از کاربردهای مهم در صنایع هوا فضاء استفاده از این مواد به عنوان ماتریس در انتخاب مواد پلیمری فدا شونده دو ویژگی آن یعنی فرایند

رازینهای فنولی که یکی از رزینهای ارزان و مقاوم گرمائي است کاربردهای زیادی در صنایع مختلف دارد [۱]. یکی از کاربردهای مهم در صنایع هوا فضاء استفاده از این مواد به عنوان ماتریس

\* مسئول مکاتبات، پیام نگار: mehrir@modares.ac.ir



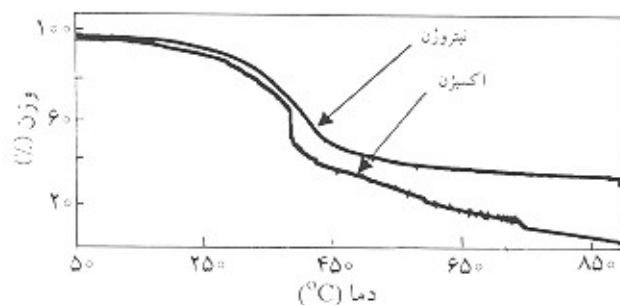
شکل ۳- تغیرات درجه تخریب رزین فولی اصلاح شده با دما و مشتق آن در سرعت گرمادهی  $10^{\circ}\text{C}/\text{min}$  در محیط نیتروژن.

می‌شوند. در مرحله سوم در دمای بالای  $600^{\circ}\text{C}$  آب، کربن مونوکسید، کربن دیبوکسید، متان، فنول و کروزول باقیمانده آزاد می‌شوند. در پایان تخریب تقریباً نیمی از ماده تبخیر می‌شود و نیمی دیگر به صورت زغال بر جای می‌ماند [۳]. گازهای تولید شده ناشی از تخریب رزین حائز اهمیت است و امکان شناسایی آنها به وسیله سیستمهای TGA-FTIR وجود دارد. اما، آنچه مهمتر است میزان آنها و به عبارتی مقدار زغال باقیمانده است که به وسیله TGA بطور دقیق قابل اندازه گیری است.

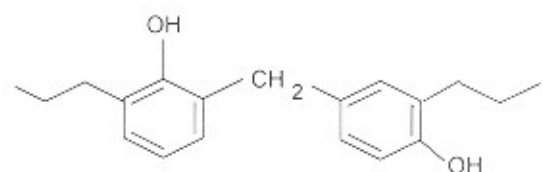
نکته قابل توجه دیگر سنتیک تخریب گرمایی رزینهای فولی است، برای بررسی سنتیک تخریب گرمایی معادله زیرداده شده است [۵]:

$$\frac{d\alpha}{dt} = K(T) f(\alpha) = A \exp(-E/RT) (1-\alpha)^n \quad (1)$$

که در این رابطه  $\alpha$  درجه تخریب،  $K(T)$  ثابت معادله و تابع آریوسی از دما،  $A$  ضریب بسامد،  $E$  انرژی فعالسازی،  $n$  درجه



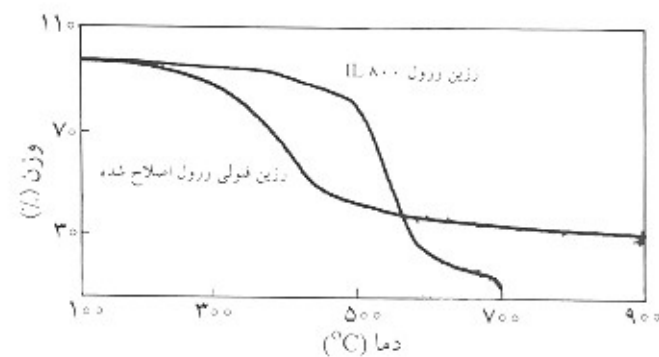
شکل ۴- مقایسه منحنيهای TGA رزین فولی رزوول اصلاح شده در دو محیط در سرعت گرمادهی  $10^{\circ}\text{C}/\text{min}$ .



شکل ۱- واحد تکرار شونده در رزینهای فولی.

تجزیه گرمایی ماتریس (رزین) و خاصیت زغال‌گذاری بسیار اهمیت دارد [۳]. در فرایند تجزیه گرمایی میزان قابل توجهی از گرمایی ورودی به سطح جذب و صرف تخریب گرمایی ماده می‌شود. از طرف دیگر، هرچه میزان زغال تشکیل شده از تخریب ماده پلیمری بیشتر و پایدارتر باشد، خاصیت عایقی آن بیشتر خواهد بود. رزینهای فولی به دلیل گرمایی زیاد جذب شده هنگام تخریب گرمایی و درصد بالای باقیمانده زغال، کاربردهای قابل توجهی در ساخت سپرهای گرمایی دارند. در شکل ۱ یکی از ساختارهای متحمل رزین فولی نشان داده شده است [۳]. فرایند تخریب به پایداری و غلظت گروههای دی‌هیدروکسی فنیل متان وابسته است.

ساختار مولکولی رزین فولی تاثیر بسیاری در بازدهی زغال‌گذاری و ساختار زغال حاصل از تخریب رزین در فرایند فدا شدن دارد. به همین علت استفاده از رزینهای فولی با ساختار ویژه در ساخت سپرهای گرمایی متدائل است [۴]. تخریب گرمایی رزین فولی عموماً طی سه مرحله اتفاق می‌افتد که به وسیله افت وزن و تغییر حجم مشخص می‌شود. در مرحله اول آب و مونومرهای عمل نکرده فنول و فرمالدهید آزاد می‌شوند. در مرحله دوم در محدوده دمایی  $300\text{--}600^{\circ}\text{C}$  کربن مونوکسید، کربن دیبوکسید، متان و فنول آزاد



شکل ۲- منحنيهای TGA دو نوع رزین در سرعت گرمادهی  $10^{\circ}\text{C}/\text{min}$  در محیط نیتروژن.

میزان مواد فرار آن هنگام پخت ۱۴ درصد است. رزین دوم، رزین فنولی نوع رزول اصلاح شده است که توسط صنایع دفاع در اختیار قرار گرفته و به همین علت جزئیات خصوصیات آن مشخص نیست، ولی رزینی است که در ساخت فداشونده‌ها از آن استفاده می‌شود.

#### دستگاهها و روشهای پخت

پخت کلیه نمونه‌ها در پرس گرمایی ۶۰ نن ساخت شرکت دستگیرعالی و مرحله پخت تکمیلی آنها در کوره نابرترم ساخت شرکت برمن آلمان انجام شده است. برای انجام آزمونهای تخریب گرمایی از دستگاه تجزیه گرمایی وزنی TGA1500 استفاده شده است. آزمونها برای کلیه نمونه‌ها در دو محیط نیتروژن و اکسیژن در محدوده دمای محیط تا دمای ۹۰۰ درجه سانتی گراد برای سه سرعت گرمادهی ۵، ۱۰ و ۲۰°C/min انجام شده است.

#### نتایج و بحث

##### بررسی اثر نوع رزین

برای بررسی رفتار تخریب گرمایی دو نمونه رزین فنولی، آزمون تجزیه گرمایی وزنی برای هر دو نمونه در سرعت گرمادهی ۱۰°C/min در محیط نیتروژن انجام شد. نتایج این آزمون در شکل ۲ نشان داده شده است. همان طور که در این شکل دیده می‌شود، تخریب رزین فنولی رزول اصلاح شده در دمای ۲۲۰°C و تخریب رزین فنولی رزول ۸۰۰ در دمای ۴۰۰°C شروع می‌شود. اما محدوده دمای تخریب رزین رزول اصلاح شده بیشتر از رزین فنولی رزول ۸۰۰ است. نکته قابل توجه میزان زغال گذاری بیشتر رزین فنولی رزول اصلاح شده بروزه در انتهای واکنش تخریب گرمایی است. تغییرات درجه تخریب ( $\alpha$ ) بر حسب دما، که براساس معادله (۲) برای رزین فنولی اصلاح شده محاسبه شده است، همراه با مشتق آن ( $d\alpha/dt$ ) در شکل ۳ نشان داده شده است. این شکل نشان می‌دهد که حداقل سرعت تخریب رزین یاد شده در این سرعت گرمادهی در دمای ۴۰۰°C اتفاق افتاده است. همچنین، این شکل بیانگر آن است که تخریب این رزین واکنش یک مرحله‌ای است، زیرا تغییرات مشتق آن بر حسب دما با زمان یک قله را نشان می‌دهد. تخریب گرمایی رزین ۸۰۰ در نیز یک مرحله‌ای است که از گرماگشت آن در شکل ۲ پیداست. در جدول ۱ دمای بیشینه تخریب و میزان زغال گذاری هر دو نوع رزین جهت مقایسه آورده شده است. زغال تشکیل شده در سطح یک عایق فداشونده نقش بسیار

واکنش و  $d\alpha/dt$  سرعت تخریب است. روشهای مختلفی برای تعیین پارامترهای سینتیکی تخریب و همچنین توابع آن ارائه شده است [۵]. در آزمون تجزیه گرمایی وزنی (TGA) که در آن تغییرات وزن نمونه ناشی از تخریب گرمایی در سرعت گرمادهی ثابتی بر حسب دما اندازه گیری می‌شود،  $\alpha$  یعنی درجه تخریب به صورت معادله (۲) تعریف می‌گردد:

$$\alpha = \frac{W_0 - W}{W_0 - W_f} \quad (2)$$

که در این معادله  $W_0$  وزن اولیه نمونه،  $W_f$  وزن نهایی نمونه و  $W$  وزن نمونه در هر لحظه است. یکی از روشهای کارآمد برای تعیین پارامترهای سینتیکی تخریب با استفاده از نتایج آزمون TGA، روش انگرالی ازاوا (Ozawa) است [۶]. معادله اصلی در این روش به صورت زیر است:

$$\ln [(1-\alpha)^n] = \ln (AE/R) - \ln \beta_i + 5.33 - 1.05 E/RT_i \quad (3)$$

که در این معادله  $\beta$  سرعت گرمادهی است. در این روش، مجموعه‌ای از منحنیهای TGA در سرعتهای گرمادهی ( $\beta$ ) مختلف نهیه شده و تغییرات  $\alpha$  بر حسب دما برای هر سرعت گرمادهی معین می‌شود. با رسم  $\ln \beta$  بر حسب  $1/T$  در هر  $n$  تعدادی خطوط موازی حاصل می‌شود که شبیه این خطوط، انرژی فعالسازی واکنش را بدست می‌دهد.

نظر به اهمیت سینتیک تخریب گرمایی رزینهای فنولی در این پژوهش، روش تخریب گرمایی دونوع رزین فنولی و عوامل موثر بر آن بررسی و پارامترهای سینتیکی واکنش تخریب گرمایی به کمک مدل ازاوا معین شده است.

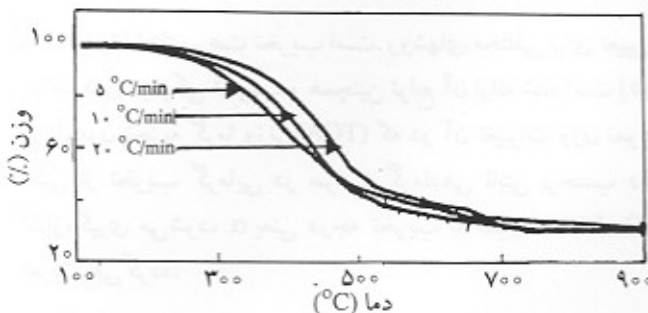
#### تجربی

##### مواد

در این پژوهش، از دو نوع رزین فنولی استفاده شده است. رزین اول متعلق به شرکت رزیتان، رزین فنولی نوع رزول با نام تجاری IL800 است که چگالی آن در دمای ۲۰°C برابر  $1.15 \text{ g/cm}^3$  و گرانزوی آن در دمای ۲۰°C برابر  $2.3 \text{ Pa.s}$  است. این رزین به صورت محلول در اتانول عرضه می‌شود و میزان مواد جامد آن ۸۷ درصد و

جدول ۱- اثر نوع رزین بر دمای تخریب و میزان زغال گذاری.

نوع رزین فولی	محدوده دمای تخریب (°C)	دماهی بیشینه (درصد وزنی)	پاکمانده زغال
رزول اصلاح شده	۲۰۰-۷۵۰	۴۰۰	۲۹
رزول	۳۵۰-۶۵۰	۵۳۰	۱۰



شکل ۵- منحنیهای TGA رزین رزول اصلاح شده در سه سرعت گرمادهی ۵، ۱۰ و ۲۰°C/min.

## بررسی اثر سرعت گرمادهی

شکل ۵ منحنیهای TGA رزین فولی اصلاح شده را در سه سرعت گرمادهی به صورت همزمان نشان می‌دهد. یک مرحله‌ای بودن واکنش تخریب رزین در همه سرعتهای گرمادهی کاملاً مشهود است، ضمن اینکه با افزایش سرعت گرمادهی منحنیهای TGA به دماهای بالاتر انتقال می‌یابد.

با افزایش سرعت گرمادهی دماهی بیشینه تخریب ( $T_{max}$ ) افزایش می‌یابد. برای بدست آوردن رابطه بین دماهی بیشینه تخریب و سرعت گرمادهی ( $\beta$ ) برای رزین فولی می‌توان برای هر سرعت گرمادهی مقدار  $T_{max}$  را معین و بهترین تابع عبوری از این نقاط را مشخص کرد. با توجه به نتایج شکل ۵ برای واکنش تخریب رزین معادله زیر بین  $T_{max}$  و  $\beta$  برقرار است:

$$\ln(\beta) = -14.546 + 4.8 \times 10^{-2} T_{max} \quad (4)$$

که در این معادله  $T_{max}$  دماهی بیشینه تخریب بر حسب °C و  $\beta$  سرعت گرمادهی بر حسب °C/min است. با استفاده از این معادله می‌توان مقدار دماهی بیشینه تخریب را برای هر سرعت گرمادهی بدست آورد. از آنجا که رزینهای فولی در فرایند فدا شدن در شرایط عملکردی با سرعتهای گرمادهی زیاد (۳۰۰۰-۴۰۰۰°C/min) مواجه‌اند [۹]، با استفاده از معادله (۴) مقدار  $T_{max}$  برای این سرعتهای گرمادهی در محدوده ۴۷۵-۴۶۹°C قرار می‌گیرد.

## تعیین پارامترهای سیستمیکی واکنش تخریب

همان طور که اشاره شد، در این پژوهش برای تعیین پارامترهای سیستمیکی (n, A, E) از روش انتگرالی ازاوا استفاده شده است. در روش ازاوا، از نتایج آزمون TGA رزین در سه سرعت گرمادهی به صورت همزمان برای تعیین پارامترهای سیستمیکی استفاده می‌شود. در

مهمی در کارایی آن دارد، بطوری که به عنوان سدی بین محیط و ماده دستخورده قرار می‌گیرد و شیوه یک عایق عمل می‌کند. تخلخل موجود در زغال مانند راکتوری در دمای بالاست، زیرا گازهای تولید شده از تخریب رزین در سطوح زیرین با عبور از ناحیه زغال و جذب مقدار زیادی از گرما به گازهای با دماهی بیشتر و وزن مولکولی کمتر تبدیل می‌شوند. از طرف دیگر، شبکه زغال تشکیل شده قادر به رسیدن به دمای بالاتر است که در پخش انرژی گرمایی به وسیله تابش نیز نقش مهمی دارد. بنابراین، انتخاب رزین با میزان زغال گذاری بیشتر مطلوب فرایند فدا شدن است. از این‌رو، رزین رزول اصلاح شده از نقطه نظر میزان زغال گذاری و همچنین، محدوده دمای تخریب از رزین رزول ۸۰۰°C برتر است.

## بررسی اثر محیط آزمایش

برای بررسی اثر محیط آزمایش بر سرعت تخریب، آزمون تجزیه گرمایی در دو محیط اکسیژن و نیتروژن روی رزین فولی اصلاح شده انجام شد. نتایج این آزمون در شکل ۴ نشان داده شده است. همان طور که در این شکل دیده می‌شود، تخریب رزین در محیط اکسیژن در دمای پایینتری شروع می‌شود، ضمن اینکه سرعت تخریب در محیط اکسیژن بیشتر است. میزان زغال پاکمانده از تخریب رزین در محیط اکسیژن تقریباً دو درصد است. به عبارت دیگر، زغال تولید شده از تخریب رزین در محیط اکسیژن و در دمای بالا در معرض اکسایش قرار گرفته است. با توجه به مطالعی که در مورد اهمیت زغال پاکمانده از تخریب رزین ارائه شد، می‌توان گفت که در عمل، فرایند فدا شدن در محیطی خنثی اتفاق می‌افتد زیرا لایه مزی که به وسیله گازهای حاصل از تخریب رزین تشکیل می‌شود به عنوان سدی در برابر نفوذ اکسیژن عمل می‌کند و باعث می‌شود که تخریب رزین در محیطی کاملاً خنثی روی دهد. تخریب غیراکسایشی سه‌گرمایی در سطح فداشونده توسط پژوهشگران دیگر نیز گزارش شده است [۷، ۸].

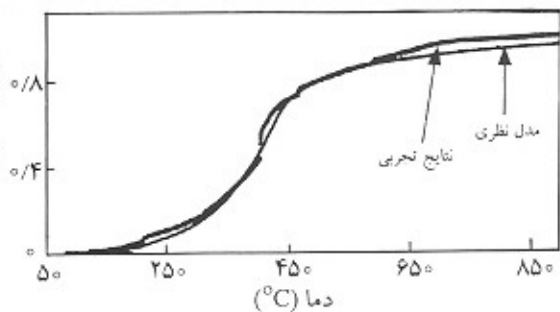
همچنین محدوده دمای تخریب از رزین رزول IL ۸۰۰ برتر است و تخریب گرمایی هر دو رزین مورد بررسی واکنش یک مرحله‌ای است.

- وجود اکسیژن در محیط آزمایش، ضمن افزایش سرعت تخریب، باعث اکسایش زغال حاصل از تخریب رزین می‌شود.  
- با توجه به رابطه بین  $T_{max}$  و  $\beta$  حاصل شده، دمای بیشینه تخریب رزین رزول اصلاح شده در سرعت گرمادهی  $469^{\circ}C/min$ ،  $3000^{\circ}C/min$ ، یعنی در شرایط واقعی کاربرد، در دمای  $469^{\circ}C$  اتفاق خواهد افتاد.

- پارامترهای سینتیکی واکنش تخریب رزین رزول اصلاح شده که با استفاده از روش ازاوا محاسبه شده است، عبارتند از:  $n = 1/5$ ،  $A = 271 \times 10^3$  و  $E = 72 kJ/mol$ .  
- نتایج مدل نظری معروفی شده تخریب با استفاده از این پارامترها، تطبیق سیار خوبی با نتایج تجربی نشان می‌دهد.

## مراجع

1. Knop A., and Pilato L.A., *Phenolic Resins: Chemistry, Applications and Performance*, Springer Verlag, Berlin, 1985.
2. Young Kang L., "Phenolic Resin in Heat Shield", 36 th International Sampe Symposium, 1128–1135, 1991.
3. Richard E.L., "Pyrolysis Kinetics of Char Forming Polymers", *Polym. Degradation Stab.*, **61**, 201–210, 1998.
4. حاجی حیدری داریوش، منشی احمد و کاظمی احمد، "کاربرد رزینهای فنولی در فراورده‌های نسوز"، مجله علوم و تکنولوژی پلیمر، سال نهم، شماره اول، بهار ۱۳۷۵.
5. Yang C., Fang Z. and Liu J., "A Study on the Kinetics of Thermal Decomposition of Polyaniline", *Thermochim. Acta*, **352**, 159–164, 2000.
6. Ozawa T., "A Quick Direct Method for Determination of Activation Energy from Thermogravimetric Data", *Bull. Chem. Soc. Jpn* **38**, 1881, 1965.
7. Torre L., and Kenny J.M., "Thermal Degradation Kinetics of Polyetherimide (PEI)", *ANTEC 97/467*, 1728–1733, 1997.



شکل ۶- مقایسه نتایج مدل نظری و نتایج تجربی واکنش تخریب رزین رزول اصلاح شده در سرعت حرارت دهی  $10^{\circ}C/min$ .

این روش با رسم نمودار لگاریتم سرعت گرمادهی بر حسب معکوس دما در چند درجه تخریب ثابت خطوط موازی بدست می‌آید که شب این خطوط مقدار اثر رُزی فعالسازی واکنش تخریب را بدست می‌دهد [۶].

با توجه به نتایج ارائه شده در شکل ۵، در هر سرعت گرمادهی چند درجه تخریب ( $\alpha$ ) و دمای متناظر آن معین و در نهایت مقادیر لگاریتم سرعت گرمادهی بر حسب معکوس دما رسم شد. مقادیر درجه واکنش و ضریب بسامد نیز با استفاده از عرض از مبدأ نمودار محاسبه شد. مقادیر بدست آمده عبارت است از:  $n=1/5$ ،  $A=271 \times 10^3$  و  $E=72 kJ/mol$ . در صورت قرار دادن این مقادیر در معادله (۵) نتایج نظری درجه تخریب بر حسب دما (در محدوده قابل محاسبه) حاصل خواهد شد.

$$\int_0^n \frac{d\alpha}{(1-\alpha)^n} = (A/\beta) \int_{T_0}^T \exp(-E/RT) dT \quad (5)$$

در شکل ۶ منحنی‌های درجه تخریب نظری (محاسبه شده براساس پارامترهای سینتیکی بدست آمده) و تجربی رزین نشان داده شده است. تطبیق خوب دو منحنی تایید کننده صحت مقادیر پارامترهای سینتیکی محاسبه شده است.

## نتیجه‌گیری

مهترین نتایج حاصل از این پژوهش عبارتند از:  
- اصلاح ساختار مولکولی رزین فنولی و انتخاب رزین اصلاح شده تأثیر بسزایی در بازدهی زغال شدن رزین طی فرایند فدا شدن دارد. رزین رزول اصلاح شده از نقطه نظر میزان زغال گذاری و

## رسول محسنی لاوی و همکاران

8. Torre L., and Kenny J.M., "Degradation Behaviour of a Composite Material for Thermal Protection Systems, Part I-Experimental Characterization", *J. Mater. Sci.*, 33, 3137-3143, 1998.
9. Pektaş I., "High Temperature Degradation of Reinforced Phenolic Insulator", *J. Appl. Polym. Sci.*, 68, 1337-1342, 1998.